

УДК 535.34

©1995

КРАЕВОЕ ПОГЛОЩЕНИЕ В КРИСТАЛЛАХ $\text{Bi}_{12}\text{SiO}_{20}$

Т.В.Панченко, С.Ю.Копылова, Ю.Г.Осецкий

Днепропетровский государственный университет,

Днепропетровск, Украина

(Поступила в Редакцию 5 декабря 1994 г.)

В области температур 80–600 К исследовано краевое поглощение кристаллов $\text{Bi}_{12}\text{SiO}_{20}$, содержащих дефекты нестехиометрии в катионных подрешетках, а также кристаллов $\text{Bi}_{12}\text{SiO}_{20}$, легированных ионами Al и Ga. Показано, что при значениях коэффициента поглощения $\alpha > \alpha_1$ выполняется правило Урбаха, при $\alpha < \alpha_1$ имеют место непрямые переходы с участием оптических фононов. Величина α_1 зависит от температуры. Параметры правила Урбаха закономерно изменяются при нарушении стехиометрии по соотношению Bi:Si. Выявлены особенности изоабсорбционных зависимостей и параметра σ , характеризующего температурное изменение краевого поглощения.

Спектральные зависимости оптического поглощения, отражения и преломления кристаллов $\text{Bi}_{12}\text{MO}_{20}$ (BMO, где M = Si, Ge, Ti) вблизи края фундаментальной полосы поглощения изучались в [1–20]. Можно выделить три аспекта этих исследований. Один связан с поиском корреляций между особенностями оптических функций в области вакуумного ультрафиолета (ВУФ) и структурой энергетических зон электронов [2–6, 10, 13, 15]. Второй аспект связан с анализом механизмов оптических переходов, формирующих край поглощения [3, 4, 9, 11, 14, 17–20]. Третий касается природы длинноволнового плеча (3.2–2.8 eV) фундаментальной полосы поглощения [1, 7, 8, 11, 12, 16].

Анализ ВУФ-спектров отражения, реальной и мнимой частей диэлектрической проницаемости кристаллов $\text{Bi}_{12}\text{SiO}_{20}$, $\text{Bi}_{12}\text{GeO}_{20}$, $\text{Bi}_{12}\text{TiO}_{20}$, (BSO, BGO, BTO соответственно) приводит к выводу об определяющей роли комплексов BiO_7 в формировании валентной зоны и зоны проводимости. Согласно [13, 15], валентная зона образована в основном p -орбитальми кислорода и состоит из трех подзон. Зона проводимости образована бр-орбитальми висмута. Она состоит из двух подзон, отделенных друг от друга энергетическим интервалом $\delta = 10 \text{ eV}$. Переходы электронов из валентных подзон проявляются в спектрах отражения в виде характерных триплетов (например, 3.55, 3.65, 3.75 eV для BSO при 300 K). Вклад тетраэдрлов MO_4^{2-} невелик и проявляется в интервале энергий фотона $\hbar\nu = 10\text{--}15 \text{ eV}$.

Роль прямых и непрямых оптических переходов, экситонов и фононов в формировании края поглощения однозначно не определена.

Прямым переходам отдается предпочтение в [4], непрямые переходы

вплоть до $h\nu = 3.4$ eV описаны в [11,19], прямые и непрямые переходы с участием оптических фононов наблюдались в [3,10,17], в пользу непрямых переходов с участием экситонов свидетельствуют результаты исследования спектров электроотражения [14].

Плечо поглощения обусловлено собственными дефектами кристаллов BMO (вероятно, ионами Bi^{3+} и Bi^{5+} в кислородных тетраэдрах [11–13]). Локальные уровни запрещенной зоны, созданные этими дефектами, не идентифицированы. Однако предложены схемы оптических переходов, которые объясняют уменьшение поглощения и фоточувствительности в области плеча при легировании кристаллов BMO ионами Al, Ga, P [1,11,12].

Спектральные зависимости краевого поглощения, измеренные при нескольких различных температурах, свидетельствуют о выполнении правила Урбаха [1,18–20]. Параметры этого правила различны для центральной (вблизи оси роста) и периферийной областей кристаллов BSO. Области отличаются интенсивностью окраски и концентрацией собственных дефектов [18–20]. Отмечено значительное влияние на краевое поглощение легирования кристаллов BSO ионами Al [1]. Это стимулирует интерес к исследованию роли собственных дефектов и примесных ионов в формировании края поглощения.

В данной работе представлены результаты дальнейшего исследования края поглощения кристаллов BSO с варьируемой концентрацией собственных дефектов в катионных подрешетках, а также кристаллов BSO, легированных ионами Al и Ga (BSO : Al, BSO : Ga).

1. Эксперименты

Исследовались оптически однородные образцы кристаллов BSO, выращенных по методу Чохральского вдоль кристаллографического направления [001]. Легирование кристаллов BSO ионами Al и Ga описано в [21]. Содержание примеси определялось спектрально-эмиссионным методом и составляло $9 \cdot 10^{-3}$ мас.% (Al) и $4 \cdot 10^{-2}$ мас.% (Ga). Общее содержание неконтролируемой примеси не превышало 10^{-3} мас.%.

Концентрация дефектов в катионных Bi- и Si-подрешетках варьировалась за счет отклонения соотношения Bi:Si от стехиометрии (соответствует содержанию SiO_2 14.2 mol.%) в пределах области гомогенности кристаллов BSO. Это составляло 12.6 mol.% SiO_2 (дефицит SiO_2 = избыток Bi_2O_3) и 15.7 mol.% SiO_2 (избыток SiO_2 = дефицит Bi_2O_3).

В кристаллах BSO имеет место некоторое изменение стехиометрии и параметра ячейки (в пределах 10.1031–10.1033 Å) вдоль оси роста, обусловленное преимущественным испарением Si [22]. В связи с этим образцы для исследования влияния дефектов нестехиометрии были вырезаны из кристаллов одинакового габитуса и размера на одинаковом удалении от затравки. Идентичность остальных технологических факторов также жестко контролировалась.

Образцы были приготовлены в виде механически полированных пластин толщиной 35–75 μm с большой плоскостью (001) и площадью не менее 5 × 5 mm.

Спектры оптического пропускания $t(\lambda)$ были измерены с разрешающей способностью не хуже 0.001 eV на спектрофотометре «Specord M40». Спектры поглощения $\alpha(h\nu)$ рассчитывались на ЭВМ с учетом отражения $R(h\nu)$ в пренебрежении интерференционными эффектами из соотношения [23]

$$t(\lambda) = [(1 - R)^2 (\lambda \alpha) (4\pi n)^{-2}] / [\exp(\alpha d) - R^2 \exp(-2\alpha d)], \quad (1)$$

где $n(h\nu)$ — коэффициент преломления, λ — длина волны. Зависимости $n(h\nu)$ в диапазоне 2.0–3.1 eV были измерены с помощью гониометра ГС-5 на призмах с преломляющим углом 15°. Для диапазона 3.1–3.5 eV были использованы данные [24].

Зависимости $t(\lambda)$ были измерены в области температур 80–600 K с шагом 5–10 K. Температура стабилизировалась с точностью ±0.5 K.

2. Результаты и обсуждение

В спектральном диапазоне $h\nu = 3.0$ –3.4 eV в области температур $T = 80$ –600 K зависимости краевого поглощения от энергии фотона и температуры для всех исследованных кристаллов при $\alpha > \alpha_t$ могут быть описаны правилом Урбаха

$$\alpha(h\nu, T) = \alpha_0 \exp[\sigma(T)(h\nu - E_0)/kT], \quad (2)$$

где k — постоянная Больцмана, α_0 и E_0 — эмпирические постоянные, $\sigma(T)$ — параметр, характеризующий наклон края поглощения. Значения α_0 и E_0 определяются координатами точки пересечения линейных участков зависимостей $\ln \alpha = f(h\nu, T)$. Наклон и протяженность этих участков, ограниченная снизу величиной α_t , существенно увеличиваются при легировании кристаллов BSO ионами Al и Ga (рис. 1, 2). Для всех кристаллов α_t растет по мере понижения температуры.

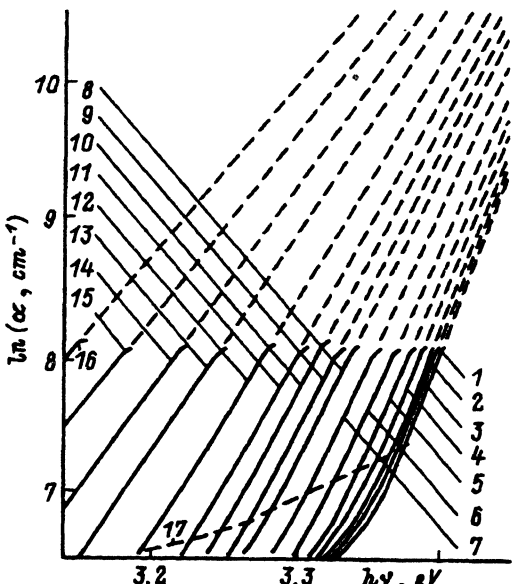


Рис. 1. Зависимости коэффициента оптического поглощения α от энергии фотона $h\nu$ для кристаллов BSO при $T = 90$ (1), 110 (2), 130 (3), 150 (4), 170 (5), 190 (6), 210 (7), 230 (8), 250 (9), 270 (10), 290 (11), 320 (12), 370 (13), 420 (14), 470 (15), 520 K (16).

17 — зависимость $\alpha_t(h\nu, T)$ для кристаллов BSO.

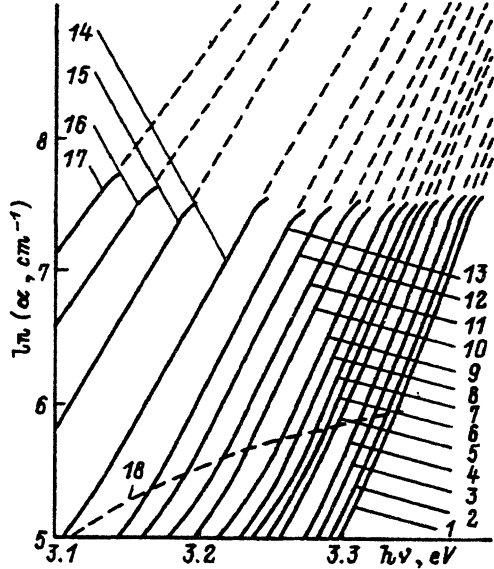


Рис. 2. Зависимости коэффициента оптического поглощения α от энергии фотона $h\nu$ для кристаллов BSO:Al при $T = 90$ (1), 110 (2), 130 (3), 150 (4), 170 (5), 190 (6), 210 (7), 230 (8), 250 (9), 270 (10), 290 (11), 310 (12), 330 (13), 370 (14), 420 (15), 470 (16) и 520 K (17).

18 — зависимость $\alpha_1(h\nu, T)$ для кристаллов BSO:Al.

Параметры α_0 и E_0 изменяются при отклонении соотношения Bi:Si от стехиометрии. Они имеют большие значения для кристаллов с дефицитом Bi(BSO - Bi) и меньшие для кристаллов с избытком Bi(BSO + Bi) по сравнению с кристаллами BSO стехиометрического состава. Значения α_0 и E_0 для кристаллов BSO + Bi близки к значениям $\alpha_0 = 10^5 \text{ cm}^{-1}$ и $E_0 = 3.54 \text{ eV}$, полученным в [20] для периферийных областей кристаллов BSO. Легирование ионами Al и Ga приводит к увеличению α_0 и E_0 (табл. 1).

Таблица 1

Параметры правила Урбаха для кристаллов BSO с дефектами нестехиометрии и кристаллов BSO, легированных ионами Al и Ga

Кристалл	Параметр				
	α_0, cm^{-1}	E_0, eV	$h\nu_0, \text{meV}$	σ_0	g
BSO	$8.39 \cdot 10^5$	3.63	31.7	0.55	1.22
BSO + Bi	$9.58 \cdot 10^4$	3.54	31.7	0.44	1.52
BSO - Bi	$1.43 \cdot 10^6$	3.67	31.7	0.58	1.16
BSO:Al	$4.41 \cdot 10^6$	3.64	31.7	0.71	0.95
BSO:Ga	$6.73 \cdot 10^5$	3.59	31.1	0.64	1.05

Поскольку величина E_0 представляет собой энергетический зазор между верхней точкой валентной зоны и самым низким минимумом зоны проводимости, можно отметить корреляцию полученных значений E_0 с энергетическим положением пика 3.65 eV в спектре отражения кристаллов BSO [5].

Температурные зависимости параметра $\sigma(T)$ (рис. 3) были рассчитаны как

$$\sigma(T) = kT[\Delta(\ln \alpha)/\Delta(h\nu)]. \quad (3)$$

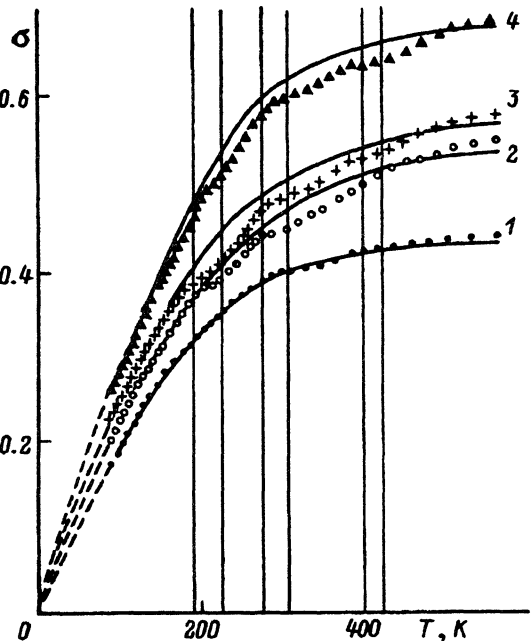


Рис. 3. Температурные зависимости параметра σ для кристаллов BSO - Bi (1), BSO (2), BSO - Bi (3) и BSO : Al (4).

Точки соответствуют экспериментальным данным, сплошные линии — аппроксимирующими функциями $\sigma(T)$.

Для кристаллов BSO и BSO+Bi в области температур $80 < T < 300$ К диапазон значений $\sigma(T)$ соответствует найденному в [19,20] для центральной и периферийной областей кристаллов BSO, а для кристаллов BSO : Al $\sigma(T)$ при $T = 250$ – 300 К близка к значению $\sigma = 0.71$, полученному в [1].

Машинная аппроксимация экспериментальных результатов показала, что зависимости $\sigma(T)$ хорошо описываются выражением [25]

$$\sigma(T) = \sigma_0(2kT/h\nu_0) \operatorname{th}(h\nu_0/2kT), \quad (4)$$

где $h\nu_0$ — энергия эффективных фононов, наиболее сильно взаимодействующих с фотонами, σ_0 — высокотемпературная константа, обратно пропорциональная силе электрон-(экзитон-)фононного взаимодействия, $g = \frac{2}{3}\sigma_0^{-1}$. Найденные параметры аппроксимации (табл. 1) существенно отличны от приведенных в [19,20]. В основном это обусловлено значительным расширением области исследованных температур в наших экспериментах. Величина $h\nu_0$ для исследованных кристаллов отличается незначительно и соответствует значению энергии $h\nu_0 = 31.7$ meV продольных оптических фононов с частотой $\omega = 257$ cm⁻¹, наблюдавшихся в ИК-спектрах поглощения кристаллов BSO [26]. Значения $g > 1$ указывают на сильное электрон-(экзитон-)фононное взаимодействие.

Полученные значения параметров E_0 , α_0 , σ_0 , $h\nu_0$ исследованных кристаллов наиболее близки к аналогичным величинам для кристаллов CdTiO₃. В кристаллах CdTiO₃ эти параметры, скачком изменяясь при фазовом переходе (вблизи 380 К), лежат в пределах $E_0 = 3.628$ – 3.72 eV, $\sigma_0 = 0.57$ – 0.678 , $h\nu_0 = 35$ – 66 meV, $\alpha_0 = 7.06 \cdot 10^4$ – $2.7 \cdot 10^{-5}$ cm⁻¹ [27].

В температурных интервалах 190–240, 270–300 и 400–430 К зависимости $\sigma(T)$ характеризуются наличием изломов и ступенек. Наиболее ярко они проявляются для кристаллов BSO и BSO–Bi (рис. 3).

Наличие особенностей зависимостей $\sigma(T)$ обусловило интерес к исследованию температурных зависимостей изоабсорбционной энергии E_g^α , отвечающей некоторому постоянному значению $\alpha > \alpha_t$. Они отражают изменение ширины запрещенной зоны с температурой. Мы получили зависимости $E_g^\alpha(T)$, характеризующиеся изломами и ступенями в интервалах, температурное положение которых коррелирует с положением особенностей $\sigma(T)$.

В литературе отсутствуют сведения о каких-либо аномалиях диэлектрической проницаемости или постоянной решетки кристаллов BSO в данных температурных интервалах. Поэтому мы не можем связать особенности зависимостей $\sigma(T)$ и $E_g^\alpha(T)$ с фазовыми переходами.

В то же время интересно отметить, что в диапазоне 200–250 К наблюдался скачкообразный рост коэффициента термического расширения β кристаллов BGO на величину $\Delta\beta = 3 \cdot 10^{-6} \text{ K}^{-1}$ [28]. Кроме того, имеется корреляция температурного положения особенностей $\sigma(T)$ и $E_g^\alpha(T)$ с положением интенсивных пиков термостимулированного тока ($T_{\max 1} = 220 \text{ K}$, $T_{\max 2} = 280 \text{ K}$) в кристаллах BGO. Эти пики наблюдались в отсутствие внешнего электрического поля на кристаллах, которые не подвергались предварительной обработке, обуславливающей заполнение электронных ловушек [29].

В целом полученные зависимости $E_g^\alpha(T)$ хорошо аппроксимируются известным выражением для полупроводников

$$E_g^\alpha(T) = E_g^\alpha(0) + (AT^2)/(\Theta + T), \quad (5)$$

где $E_g^\alpha(0)$, A и Θ (температура Дебая) — эмпирические константы. Рассчитанные значения этих констант приведены в табл. 2. В области $T > 300 \text{ K}$ зависимости $E_g^\alpha(T)$ приближаются к линейным (рис. 4).

Таблица 2

Параметры аппроксимации зависимости $E_g^\alpha(T)$
для кристаллов BSO с дефектами нестехиометрии
и кристаллов BSO, легированных ионами Al и Ga

Кристалл	Параметр		
	$E_g^\alpha(0)$, eV	$A, \text{eV} \cdot \text{K}^{-1}$	Θ, K
BSO	3.40	$6.8 \cdot 10^4$	170
BSO – Bi	3.43	$7.1 \cdot 10^4$	165
BSO + Bi	3.37	$6.47 \cdot 10^4$	180
BSO : Al	3.51	$7.6 \cdot 10^4$	180
BSO : Ga	3.48	$7.0 \cdot 10^4$	175

П р и м е ч а н и е. Экспериментальные зависимости $E_g^\alpha(T)$ для кристаллов BSO, BSO + Bi были найдены при $\alpha = 2000 \text{ cm}^{-1}$, для кристаллов BSO : Al и BSO : Ga при $\alpha = 2500 \text{ cm}^{-1}$.

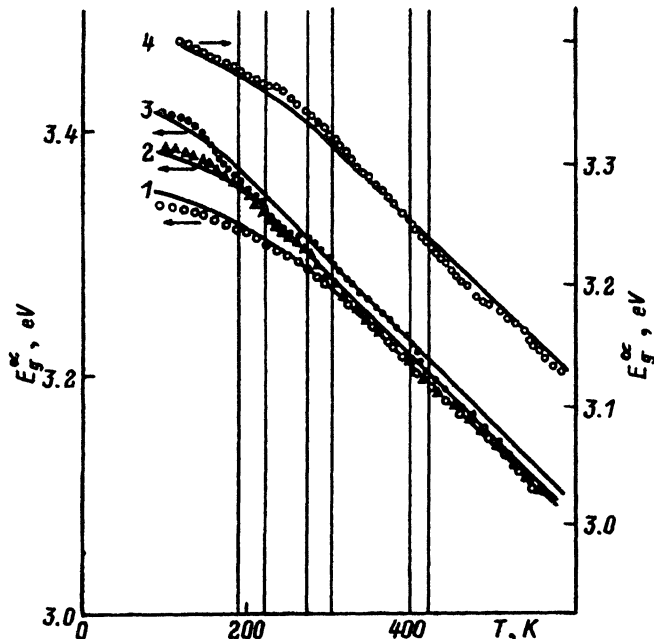


Рис. 4. Температурные зависимости изоабсорбционного параметра E_g^α для кристаллов BSO - Bi (1), BSO (2), BSO - Bi (3) и BSO:Al (4), полученные при $\alpha = 2000$ (1,2,3) и 2500 cm^{-1} (4).

Различие параметров, характеризующих краевое поглощение исследованных кристаллов, можно объяснить следующим образом. Известно, что кристаллы ВМО содержат большое количество ($10^{18} - 10^{19} \text{ см}^{-3}$) вакансий M(V_M) в связи с тем, что фактор заполнения позиций M в кристаллах ВМО отличен от единицы [30]. С другой стороны, позиции M в кристаллах ВМО могут быть заняты ионами Bi^{3+} и Bi^{5+} , что соответствует образованию γ -фазы Bi_2O_3 , описываемой как $\text{Bi}_{24}(\text{Bi}^{3+}\text{Bi}^{5+})\text{O}_{40}$ [31]. Примем во внимание также аргументы о предпочтительности замещения ионами Bi позиций M по сравнению с образованием V_M [11], а также аргументы о замещении ионами Al и Ga V_M в кристаллах BSO:Al, BSO:Ga [12]. В таком случае исследованные кристаллы будут отличаться в основном концентрацией ионов Bi в Si-узлах. Наибольшей она будет в кристаллах BSO + Bi и наименьшей в кристаллах BSO : Al, BSO : Ga. Для неоднородно окрашенных кристаллов BSO, исследованных в [18-20], содержание ионов Bi в Si-узлах в центральной области кристаллов, согласно [11], выше, чем в периферийной. Характер изменения параметра σ правила Урбаха при переходе от центральной к периферийной области кристаллов BSO в [18-20] коррелирует с изменением этого параметра при переходе от кристаллов BSO - Bi к кристаллам BSO + Bi в наших экспериментах.

В спектральной области с $\alpha < \alpha_t$ зависимости $\alpha(h\nu, T)$ отклоняются от правила Урбаха. Анализ степенных зависимостей типа $(\alpha h\nu)^n = f(h\nu, T)$ показал, что при $n = 1/2$ они содержат характерные

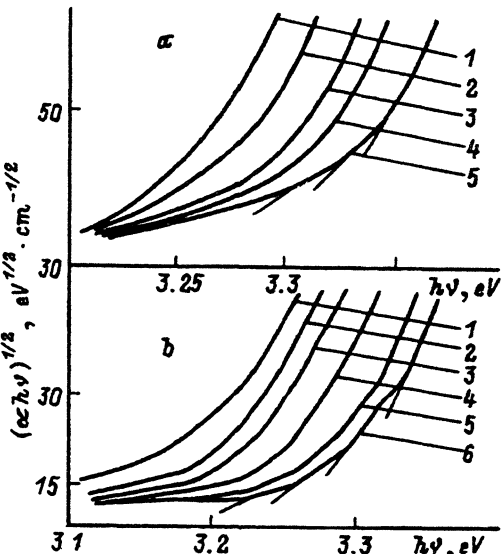


Рис. 5. Зависимость $(\alpha h\nu)^{1/2} = f(h\nu)$ для кристаллов BSO (a) при $T = 253$ (1), 223 (2), 203 (3), 183 (4), 108 К (5) и для кристаллов BSO:Al (b) при $T = 293$ (1), 268 (2), 253 (3), 188 (4), 138 (5), 108 К (6).

изломы и прямолинейные участки, свидетельствующие о наличии непрямых переходов. Наиболее ярко эти участки проявили себя для кристаллов BSO:Al (рис. 5, a, b).

Оценка энергии фононов, участвующих в непрямых переходах, для кристаллов BSO : Al дает значения $h\nu_{p1} = 20.3$ meV, $h\nu_{p2} = 26$ meV и $h\nu_{p3} = 43.54$ meV, а для кристаллов BSO — $h\nu'_{p1} = 21$ meV и $h\nu'_{p3} = 43.5$ meV. Полученные значения близки к энергиям продольных оптических фононов $h\nu^*_{p1} = 20.73$ meV ($\omega_1 = 168 \text{ cm}^{-1}$), $h\nu^*_{p2} = 26.1$ meV ($\omega_2 = 212 \text{ cm}^{-1}$) и $h\nu^*_{p3} = 43.51$ meV ($\omega_3 = 351 \text{ cm}^{-1}$), наблюдавшихся в ИК-спектрах поглощения [26] и в спектрах комбинационного рассеяния кристаллов BSO [32].

По мере повышения температуры интервал энергий фотона, занимаемый зависимостью $(\alpha h\nu) \sim (h\nu)^2$, уменьшается, а занимаемый зависимостью $\alpha \sim \exp(-h\nu)$ растет. Значения α_t , при которых одна зависимость переходит в другую, уменьшаются (рис. 1, 2). Аналогичная ситуация существования экспоненциального края и непрямых межзонных переходов наблюдалась для кристаллов CdTiO₃ [33]. Предположим, что край Урбаха образуется переходами на участок между зонами локализованных и нелокализованных экситонов с экспоненциально размытой функцией плотности состояний. В таком случае, согласно [34], уменьшение α_t вызывается уширением экситонных зон с ростом температуры. При этом непрямые межзонные переходы и формирование края Урбаха осуществляются независимо друг от друга (непрямые переходы в экситонные зоны запрещены).

Список литературы

- [1] Hou S.L., Lauer R.B., Aldrich R.E. *J. Appl. Phys.* **44**, 6, 2652 (1973).
- [2] Futro A.T. *J. Phys. Chem. Sol.* **40**, 11, 201 (1979).
- [3] Efendiev Sh.M., Bagiev V.E., Zeinally A.Ch. *Phys. Stat. Sol. (a)* **50**, K141 (1978).
- [4] Реза А.А., Сенуллене Д.Б., Беляев В.А., Леонов Е.И. *Письма в ЖТФ* **5**, 8, 465 (1979).
- [5] Эфендиев Ш.М., Мамедов А.М., Багиев В.Э., Эйвазова Г.М. *ФТТ* **22**, 12, 3705 (1980).
- [6] Эфендиев Ш.М., Мамедов А.М., Багиев В.Э., Эйвазова Г.М. *ЖТФ* **51**, 8, 1755 (1981).
- [7] Ермаков М.Г., Хомич А.В., Перов П.И., Горн И.А., Кучка В.В. *Микроэлектроника* **11**, 5, 424 (1982).
- [8] Панченко Т.В., Трусеева Н.А. *УФЖ* **29**, 8, 1186 (1984).
- [9] Senuliene D., Babonas G., Leonov E.I., Muminov I., Orlov V.M. *Phys. Stat. Sol.* **84**, 113 (1984).
- [10] Efendiev Sh.M., Bagiev V.A., Zeinally A.Ch., Balashov V.A., Lomonov V.A., Majer A.A. *Phys Stat. Sol. (a)* **69**, K19 (1981).
- [11] Oberschmid R. *Phys. Stat. Sol. (a)* **89**, 263 (1985).
- [12] Grabmaier B.C., Oberschmid R. *Phys. Stat. Sol. (a)* **96**, 199 (1986).
- [13] Довгий Я.О., Заморский М.К., Михайлин В.В., Колобанов В.Н. *Изв. вузов. Физика*, 4, 110 (1986).
- [14] Гудаев О.А., Седельников А.П. *ФТТ* **29**, 3, 946 (1987).
- [15] Эфендиев Ш.М., Мамедов А.М., Багиев В.Э. *ФТТ* **30**, 10, 3169 (1988).
- [16] Panchenko T.V., Truseeva N.A., Ossetsky Yu.G. *Ferroelectrics* **129**, 113 (1992).
- [17] Колосов Е.Е., Леонов Е.И., Подольский В.В., Шилова М.В. *Изв. АН СССР. Неорган. материалы* **19**, 4, 683 (1983).
- [18] Toyoda T., Maruyama S., Nakanishi H., Endo S., Irie T. *J. Phys. D.: Appl. Phys.* **18**, L87 (1985).
- [19] Toyoda T., Maruyama S., Nakanishi H., Endo S., Irie T. *J. Phys. D.: Appl. Phys.* **19**, 909 (1986).
- [20] Toyoda T., Nakanishi H., Endo S., Irie T. *J. Phys. C.: Solid. State Phys.* **19**, L259 (1986).
- [21] Панченко Т.В., Кудзин А.Ю., Костюк В.Х. *Изв. АН СССР* **19**, 7, 1144 (1983).
- [22] Hill O.F., Brice J.C. *J. Mat. Sci.* **9**, 8, 1252 (1974).
- [23] Уханов Ю.И. *Оптические свойства полупроводников*. М. (1977). С. 366.
- [24] Futro A.T. *J. Phys. Chem. Sol.* **40**, 1, 201 (1979).
- [25] Mahr H. *Phys. Rev.* **125**, 1510 (1962).
- [26] Woidovsky W., Lukasiewicz T., Nazariwicz W., Zmija J. *Phys. Stat. Sol. (b)* **94**, 2, 649 (1979).
- [27] Zamenin V.I. *Phys. Stat. Sol. (b)* **124**, 625 (1984).
- [28] Бурак Я.В., Сай А.С., Борман К.Я. *ФТТ* **29**, 4, 1256 (1984).
- [29] Takamori T., Just D. *J. Appl. Phys.* **67**, 2, 848 (1990).
- [30] Abrahams S.C., Jamieson P.B., Berustien J.L. *J. Chev. Phes.* **47**, 4034 (1967).
- [31] Каргин Ю.Ф., Марьин А.А., Скориков В.М. *Изв. АН СССР. Неорган. материалы* **10**, 1605 (1982).
- [32] Леонов Е.И., Семенов А.Е., Шербаков А.Г. *ФТТ* **28**, 5, 1590 (1986).
- [33] Якубовский М.А., Заметин В.И., Рабкин Л.М. *ФТТ* **22**, 12, 3523 (1980).
- [34] Toyozawa Y. *Techn. Rep. ISSP* **A119**, 68 (1964).